

# 食品中多溴联苯醚残留的气相色谱 – 串联质谱分析方法研究

张莉莉<sup>1</sup>, 彭淑女<sup>2</sup>, 赵汝松<sup>1</sup>, 林竹光<sup>2</sup>

(1 山东省分析测试中心 山东省大型精密分析仪器应用技术重点实验室, 山东 济南 250014)

2 厦门大学 化学化工学院 分析科学重点实验室, 福建 厦门 361005)

**摘要:** 建立了食品中 8 种多溴联苯醚 (PBDEs) 残留的气相色谱 – 串联质谱分析方法, 初步解析了 PBDEs 的电子轰击串联质谱 (EIMS/MS) 图, 为各种目标物的准确定性分析提供依据。以 BDE-28, BDE-47, BDE-66, BDE-85, BDE-99, BDE-100, BDE-153, BDE-154 为研究对象, 对 EIMS/MS 各分析参数进行了优化。用超声提取 – 酸性硅胶层析柱净化的前处理方法制备样品, 当空白样品的加标水平为 10.0~25.0 μg/kg 时, 8 种 PBDEs 的平均加标回收率为 82%~112%, 相对标准偏差为 3.1%~13%, 方法检出限均低于 1.5 μg/kg, 8 种 PBDEs 的线性范围为 10.0~500 μg/kg, 相关系数均大于 0.994 7。

**关键词:** 气相色谱 – 串联质谱; 溴系阻燃剂; 多溴联苯醚; 食品

中图分类号: O657.63 TQ314.248 文献标识码: A 文章编号: 1004-4957(2010)06-0603-05

doi: 10.3969/j.issn.1004-4957.2010.06.015

## Study on the Analysis of PBDEs Residues in Food by Gas Chromatography–Tandem Mass Spectrometry

ZHANG Lili<sup>1</sup>, PENG Shunyu<sup>2</sup>, ZHAO Ruisong<sup>1</sup>, LIN Zhuguang<sup>2</sup>

(1 Key Laboratory for Applied Technology of Sophisticated Analytical Instruments of Shandong Province Analysis and Test Center of Shandong, Jinan 250014, China 2 Key Laboratory of Analytical Sciences College of Chemistry and Chemical Engineering, Xiamen University, Xiamen 361005, China)

**Abstract** A gas chromatography–tandem mass spectrometric method was developed for the determination of polybrominated diphenyl ethers (PBDEs) residues, including BDE-28, BDE-47, BDE-66, BDE-85, BDE-99, BDE-100, BDE-153 and BDE-154 in food sample. The electron ionization mass spectrometry/mass spectrometry (EIMS/MS) spectra of PBDEs were analyzed. Experimental parameters influencing the behaviour of compounds in the mode of EIMS/MS were investigated and optimized. The sample was extracted with hexane–acetone by ultrasonic assisted extraction and cleaned-up with silica and acidic silica. Under the optimal conditions, the method detection limit (MDL) was lower than 1.5 μg/kg, the average recoveries of 8 PBDEs from spiked samples at two fortification levels of 10.0 and 25.0 μg/kg varied from 82% to 112% with relative standard deviations (RSDs) of 3.1%~13%. The calibration curves of all PBDEs showed good linearities in the range of 10.0~500 μg/kg with correlation coefficients more than 0.994 7. The result indicated that the proposed method had great potential in the analysis of PBDEs residues in food.

**Key words** gas chromatography–tandem mass spectrometry brominated flame retardants polybrominated diphenyl ethers food

多溴联苯醚 (PBDEs) 是一类广泛使用的阻燃剂, 具有疏水性、生物积累性和生物毒性, 可直接或通过食物链的传递富集到人体内<sup>[1~2]</sup>, 属于持久性有机污染物。饮食摄入是人体中 PBDEs 的主要来源之一<sup>[3]</sup>, 因此食品中 PBDEs 残留的检测显得尤为重要。有研究表明, PBDEs 可以随大气循环而迁移<sup>[4~5]</sup>, 这使得 PBDEs 的污染成为备受关注的全球性环境问题。

目前 PBDEs 的分析方法主要有气相色谱 – 电子捕获检测器法<sup>[6~7]</sup>、气相色谱 – 负化学离子源 / 质

谱法<sup>[8~10]</sup>、气相色谱-电子轰击离子化高分辨质谱法<sup>[11~12]</sup>和气相色谱-电子轰击离子化串联质谱法(MS/MS)等<sup>[13]</sup>。与上述方法相比, EIMS/MS方法定性更加准确可靠, 且能排除基质干扰, 有利于选择性和灵敏度的提高。目前, 国外只有少数关于PBDEs的GC-EIMS/MS方法研究报道<sup>[14~19]</sup>, 而国内尚未见相关报道。本文建立了PBDEs残留的GC-EIMS/MS分析方法。以8种PBDEs(BDE-28、BDE-47、BDE-66、BDE-85、BDE-99、BDE-100、BDE-153和BDE-154)为研究对象, 对EIMS/MS各种分析参数, 如目标分析物保留时间段、母离子、离子分离窗口、目标分析物激发存储水平、碰撞诱导解离电压、定量分析离子及离子阱温度等进行探讨及优化, 最终确定了各种PBDEs的最佳MS/MS分析条件。

## 1 实验部分

### 1.1 仪器与试剂

Varian Saturn 2100T GC-MS/MS系统, 配备EI电离方式, CP-8410自动进样器, 配有电子流量控制(EFC)的3900气相色谱仪, Star Too bar色谱-质谱工作站; KQ3200E超声波清洗器(江苏昆山市超声仪器有限公司); 自制的氮吹浓缩装置。

PBDEs标准物质: BDE-28、BDE-47、BDE-66、BDE-85、BDE-99、BDE-100、BDE-153和BDE-154( $50\text{ mg/L}$ ,  $1.00\text{ mL}$ ), 均购于美国Accu Standard公司。标准溶液的配制: 用正己烷将8种PBDEs标准样品稀释成 $500\text{ }\mu\text{g/L}$ 的储备液; 再根据分析需要, 用正己烷配成含有 $5.0\text{ }\mu\text{g/kg}$ PCB-103(IS)的 $10\text{ }\mu\text{L}$ 、 $50\text{ }\mu\text{L}$ 、 $100\text{ }\mu\text{L}$ 、 $250\text{ }\mu\text{L}$ 、 $500\text{ }\mu\text{g/L}$ 的8种PBDEs系列混合标准使用溶液。

正己烷、丙酮和二氯甲烷均为农残级(美国Tedia公司); 无水 $\text{Na}_2\text{SO}_4$ (分析纯):  $650\text{ }^\circ\text{C}$ 马弗炉中烘烤 $4\text{ h}$ ; 硅胶(分析纯): 粒度 $75\sim 150\text{ }\mu\text{m}$ ,  $250\text{ }^\circ\text{C}$ 马弗炉中烘烤 $2\text{ h}$ , 于干燥箱内冷却至室温后按 $m$ (硅胶): $m(\text{H}_2\text{SO}_4)=100:44$ 加入浓 $\text{H}_2\text{SO}_4$ , 搅拌均匀, 保存于干燥箱内。

### 1.2 样品制备

称取 $10.0\text{ g}$ 动物肝脏样品, 分别以 $15\text{ mL}$ 正己烷-丙酮(体积比 $1:1$ )为提取剂超声提取 $10\text{ min}$ , 转移出上层提取液; 残渣再分别用 $10\text{ mL}$ 提取剂超声提取 $2$ 次, 合并 $3$ 次提取液, 氮吹浓缩至 $2\sim 3\text{ mL}$ 。在玻璃层析柱底端填入适量脱脂棉, 从下到上依次填入 $1.5\text{ g}$ 无水 $\text{Na}_2\text{SO}_4$ 、 $1.0\text{ g}$ 硅胶、 $5.0\text{ g}$ 酸性硅胶和 $3.0\text{ g}$ 无水 $\text{Na}_2\text{SO}_4$ , 先用 $10\text{ mL}$ 正己烷淋洗层析柱, 再将浓缩后的提取液转至玻璃层析柱上, 用 $30\text{ mL}$ 正己烷- $\text{CH}_2\text{Cl}_2$ (体积比 $1:1$ )洗脱剂洗脱, 洗脱液氮吹浓缩近干后, 用正己烷溶解提取物于带刻度的测试瓶中, 加入 $1.00\text{ mL}$  $5.0\text{ }\mu\text{g/kg}$ PCB-103(IS)标准溶液氮吹定容至 $0.50\text{ mL}$ , 供仪器分析<sup>[18]</sup>。

### 1.3 GC-EIMS/MS分析条件

GC分析条件: HP-5MS毛细管柱( $30\text{ m}\times 0.25\text{ mm}\times 0.25\text{ }\mu\text{m}$ ); 高纯He为载气(纯度大于99.999%); 柱流速: $1.00\text{ mL/min}$ ; 自动进样器不分流进样; 进样量: $1.00\text{ }\mu\text{L}$ ; 进样口温度: $260\text{ }^\circ\text{C}$ 。色谱柱升温程序:  $140\text{ }^\circ\text{C}$ (保持 $1.0\text{ min}$ ), 以 $25\text{ }^\circ\text{C}/\text{min}$ 升至 $220\text{ }^\circ\text{C}$ (保持 $1.0\text{ min}$ ), 以 $2.5\text{ }^\circ\text{C}/\text{min}$ 升至 $280\text{ }^\circ\text{C}$ , 再以 $30\text{ }^\circ\text{C}/\text{min}$ 升至 $300\text{ }^\circ\text{C}$ (保持 $3.0\text{ min}$ )。

MS/MS分析条件: 阵温 $250\text{ }^\circ\text{C}$ ; 阵外套温度 $40\text{ }^\circ\text{C}$ ; 传输线温度 $280\text{ }^\circ\text{C}$ ; 电子倍增管电压( $1\times 10^5$ 增益) $1550\text{ V}$ ; 电子倍增管增益电压 $300\text{ V}$ ; EI电离能量 $70\text{ eV}$ , 灯丝发射电流 $85\text{ }\mu\text{A}$ , 预扫描离子化时间 $1500\text{ }\mu\text{s}$ , 自动增益控制(AGC)目标离子数 $5000\text{ counts}$ , 所有化合物均采用共振激活裂解方式; 离子分离窗口: $m/z 9$

## 2 结果与讨论

### 2.1 母离子的选择与存储及CID电压的设定

8种PBDEs的相对分子质量较大, MS基峰的质量数较高, 因此选择MS的基峰作为母离子。实验表明, 当碰撞诱导解离(CID)电压大于 $3\text{ V}$ 时, 大多数目标物的母离子完全裂解, 因而CID电压选择 $0\sim 3\text{ V}$ 。该优选过程用 $250\text{ }\mu\text{g/L}$ 的8种PBDEs标准混合溶液进样分析数次即可完成。8种PBDEs的MS/MS分析参数见表1。

表 1 8种 PBDEs及内标物的 MS/MS 分析参数

Table 1 MS/MS analytical parameters of 8 PBDEs and internal standard

No	PBDEs	$t_r$ /min	Mass scan rangem /z	Parent ion m/z	Product ion m/z	CD voltage U/V
IS	PCB-103	7.205	144~330	326	289, 291	1.70
1	BDE-28	10.229	180~415	408	246, 248	2.20
2	BDE-47	14.578	214~495	486	324, 326, 328	3.00
3	BDE-66	15.463	214~495	486	324, 326, 328	2.80
4	BDE-100	18.689	250~575	566	404, 406	2.60
5	BDE-99	20.157	250~575	566	404, 406	2.40
6	BDE-85	22.705	250~575	566	404, 406	2.40
7	BDE-154	23.911	284~650	644	482, 484, 486	2.90
8	BDE-153	26.125	284~650	644	482, 484, 486	2.85

## 2.2 EIMS/MS 谱图解析及定量子离子碎片的选择

有关 PBDEs 的一级谱图解析的文献报道较少<sup>[19~20]</sup>, 至今未见对其二级质谱进行解析的相关报道。本文以 BDE-47 为例对 PBDEs 目标分析物的 EIMS/MS 进行了初步解析(见图 1)。各 PBDEs 的 EIMS/MS 子离子碎片的生成机理基本相同, 均为母离子脱去 2Br 中性碎片后得到奇电子离子, 8 种 PBDEs 定量分析子离子的选择见表 1。

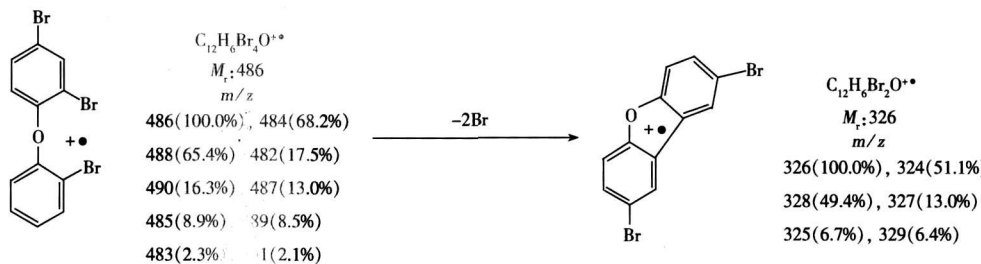


图 1 BDE-47 的 EIMS/MS 谱图解析

Fig. 1 EIMS/MS spectrum unscrambling of BDE-47

## 2.3 其它 EIMS/MS 参数的选择

根据 PBDEs 的性质, 考察了目标物在 2 种较高离子阱温度(220~250 °C)下的 MS/MS 信号强度。在色谱分离条件相同的情况下, 当离子阱温度为 250 °C 时, 得到的谱图信号更强, 有利于得到较低的检出限。故采用 250 °C 作为离子阱温度。

考察了  $m/z$  3~11 的多种离子分离窗口, 当离子分离窗口增大到  $m/z$  9 时 BDE-100 的 MS/MS 谱图信号达到最高, 继续增大则信号降低。因此本文所有的离子分离窗口设为  $m/z$  9。

灯丝发射电流的大小也影响目标分析物的 EIMS/MS 信号强度, 当灯丝发射电流达到 85 μA 时 EI MS/MS 信号最强, 电流继续增大时信号稍有降低。因此本文 8 种 PBDEs 的灯丝发射电流选为 85 μA。

由于离子化时间越长, 目标分析物离子化的程度越充分, 分析方法的灵敏度越高, 故采用 EI 方式下的最大离子化时间 25 ms, AGC 始终打开。

## 2.4 GC-EIMS/MS 分析

在优化的 EIMS/MS 条件下对 8 种 PBDEs 的混合标准溶液进行分析。图 2A 是 8 种 PBDEs 混合标准溶液的 GC-EIMS/MS 色谱图。由图可知, 各目标物的色谱峰完全分离, 且灵敏度均较高。

## 2.5 线性方程、相关系数与方法检出限

在优化实验条件下, 分别取 1.00 μL 系列混合标准溶液进行 GC-EIMS/MS 分析, 在相同实验条件下采集各自的 GC-EIMS/MS 色谱图。以目标物定量离子与内标物定量离子的峰面积比值( $y$ )对目标物的含量( $x$ , μg/kg)进行线性回归分析。各目标物的回归方程、相关系数( $r$ )和方法检出限(MDL,  $S/N \geq 3$ )见表 2。GC-EIMS/MS 分析方法的线性范围为 10.0~500 μg/kg。从表 2 可知, PBDEs 的相关系数为 0.9947~0.9993, 方法具有良好的线性; 除 BDE-85 和 BDE-153 的 MDL 分别为 1.0~1.5 μg/kg 外, 其余 6 种 PBDEs 的 MDL 均不大于 0.86 μg/kg, 完全满足痕量目标分析物的定量分析要求。

## 2.6 加标回收率及相对标准偏差

向 1.0 g 空白样品中分别添加相当于样品含 10.0~25.0 μg/kg 的 8 种 PBDEs 混合标准溶液, 按照文献 [18] 进行前处理后, 用优化后的 EIMS/MS 参数平行分析 5 次, 加标回收率和 RSD 见表 2。从表 2 可以看出, 平均加标回收率为 82%~112%, RSD 不大于 15%, 符合痕量 PBDEs 残留的分析要求。

## 2.7 EIMS/MS 分析方法优越性

EIMS/MS 在对离子检测前已排除了样品基质中的干扰组分, 且可将样品前处理过程中共流物产生的干扰离子从离子阱中排除, 因此 GC-EIMS/MS 的分析结果比 GC-EIMS 法的可信性与准确度更高。图 2B 是 8 种 PBDEs 的 GC-EIMS 色谱图, 可以看出, GC-EIMS 色谱图中杂质峰较多易产生干扰, 干扰物质产生的 MS 信号与背景信号较高, 不利于提高检测灵敏度。图 3A 和图 3B 分别是混合标准溶液和空白样品中添加混合标准 PBDEs 的 GC-EIMS/MS 色谱图, 该色谱图呈现出很灵敏的 PBDEs 色谱峰, 基本上不出现基体背景产生的干扰峰, 且基线噪音很低, 有利于提高检测灵敏度。此外, 图 3A 和图 3B 几乎完全一样, GC-EIMS/MS 分析方法显示了极强的消除样品基体干扰的能力。

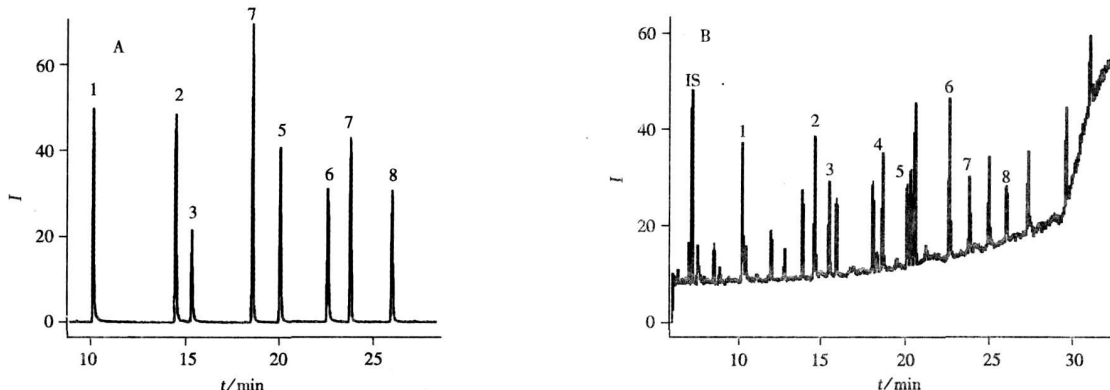


图 2 8 种 PBDEs 标准溶液的 GC-EIMS/MS(A)和 GC-EIMS(B)色谱图

Fig. 2 GC-EIMS/MS(A) and GC-EIMS(B) chromatograms of 8 PBDEs standard  
A. 250 μg/kg B. 1.5 mg/kg the numbers denoted were the same as those in table 1

表 2 8 种 PBDEs 的线性方程、相关系数 (*r*)、方法检出限 (MDL)、平均回收率与相对标准偏差 (*n* = 5)

Table 2 Regression equations, correlation coefficients (*r*), method detection limits(MDL), mean spiked recoveries and RSDs for 8 PBDEs (*n* = 5)

PBDEs	Regression equation	<i>r</i>	MDL <i>w</i> / (μg•kg⁻¹)	Added 10.0 μg/kg		Added 25.0 μg/kg	
				$\bar{R}$ %	RSD <sub>s,r</sub> %	$\bar{R}$ %	RSD <sub>s,r</sub> %
BDE-28	$y = 0.4853x - 1.3257$	0.9987	0.86	107	3.1	83	6.9
BDE-47	$y = 0.5861x - 1.4849$	0.9990	0.51	96	12	86	7.7
BDE-66	$y = 0.2839x - 0.7344$	0.9978	0.44	90	8.3	100	12
BDE-100	$y = 0.5605x - 1.1668$	0.9993	0.30	91	5.3	94	10
BDE-99	$y = 0.3789x - 1.0631$	0.9989	0.56	82	15	94	12
BDE-85	$y = 0.3102x - 0.5672$	0.9947	1.0	85	5.1	93	11
BDE-154	$y = 0.4307x - 0.6828$	0.9970	0.51	112	12	90	10
BDE-153	$y = 0.3104x - 0.7381$	0.9977	1.5	98	8.2	92	9.2

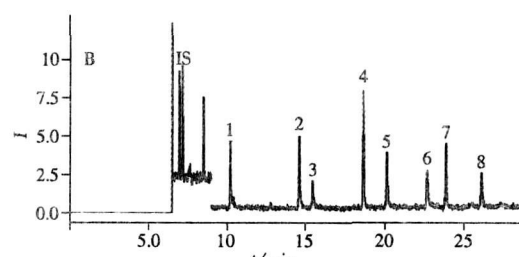
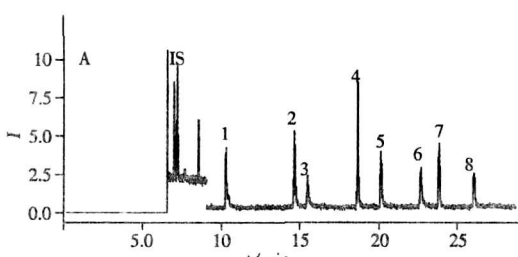


图 3 8 种 PBDEs 混合标准溶液 (A) 及空白加标样品 (B) 的 GC-EIMS/MS 色谱图

Fig. 3 GC-EIMS/MS chromatogram of internal standard at 5.0 μg/kg and 8 PBDEs  
at 25 μg/kg standards(A) and spiked blank sample(B)

## 参考文献:

- [1] CHEN Jingwen, HARNER T, YANG Ping, QUAN Xie, CHEN Shuo, SCHRAMM K W, KETTRUP A. Quantitative predictive models for octanol-air partition coefficients of polybrominated diphenyl ethers at different temperatures[ J]. *Chemosphere*, 2002, 51(7): 577- 584.
- [2] VELTMAN K, HENDRIKS J, HU IBREGTS M, LEONARDS P, HEUVEL-GREVEM V D, VETHAAK D. Accumulation of organochlorines and brominated flame retardants in estuarine and marine food chains: Field measurements and model calculations[ J]. *Mar Pollut Bull*, 2005, 50(10): 1085- 1102.
- [3] LIN D Y, AUNE M, ATUMA S, BECKER W, BJERSELIUS R, GLYNN A, OLA DARNERUD P. Food intake of the brominated flame retardants PBDEs and HBCD in Sweden[ J]. *Organohalog Compd*, 2002, 58: 181- 184.
- [4] HALE R C, LA GUARDIA M J, HARVEY E, GAYLOR M O, MAIORI T M. Brominated flame retardant concentrations and trends in abiotic media[ J]. *Chemosphere*, 2006, 64(2): 181- 186.
- [5] HYOETYLA ENEN T, HARTONEN K. Determination of brominated flame retardants in environmental samples[ J]. *Trends Anal Chem*, 2002, 21(1): 13- 29.
- [6] HARTONEN K, BOWADT S, HAWTHORNE S B. Supercritical fluid extraction with solid-phase trapping of chlorinated and brominated pollutants from sediment samples[ J]. *J Chromatogr A*, 1997, 774(1/2): 229- 242.
- [7] MARTINEZ A, RAMIL M, MONTES R. Development of matrix solid-phase dispersion method for the screening of polybrominated diphenyl ethers and polychlorinated biphenyls in biota samples using gas chromatography with electron-capture detection[ J]. *J Chromatogr A*, 2005, 1072(1): 83- 91.
- [8] MAIBIXIAN, CHEN Shejin, LUO Xiaojun. Distribution of polybrominated diphenyl ethers in sediment of the Pearl River Delta and adjacent South China Sea[ J]. *Environ Sci Technol*, 2005, 39(10): 3521- 3527.
- [9] VOORSPOEL S, COVACIA, MAERVOET J. PBDEs in marine and freshwater sediments from Belgium: levels, profiles and relations with biota[ J]. *J Environ Monit*, 2004, 6(11): 914- 918.
- [10] 陆敏, 韩姝媛, 余应新, 张东平, 吴明红, 盛国英, 傅家谟. 蔬菜中多溴联苯醚的定量测定及其对人体的生物有效性[ J]. *分析测试学报*, 2009, 28(1): 1- 6.
- [11] PENG Ju-hwa, HUANG Chih-wang, WENG Ying-nung, YAK H K. Determination of polybrominated diphenyl ethers (PBDEs) in fish samples from rivers and estuaries in Taiwan[ J]. *Chemosphere*, 2007, 66(10): 1990- 1997.
- [12] PÄPKÉ O, FÜRSTB P, HERRMANN T. Determination of polybrominated diphenyl ethers (PBDEs) in biological tissues with special emphasis on QC/QA measures[ J]. *Talanta*, 2004, 63(5): 1203- 1211.
- [13] 王丽琴, 蒋京鑫, 李长秀. 气相色谱-质谱联用测定电子电气产品中多溴联苯和多溴联苯醚[ J]. *分析测试学报*, 2007, 26(S1): 187- 190.
- [14] REGUEIROA J, LLOMPART M, GARCÍA-JARESA C, CELA R. Determination of polybrominated diphenyl ethers in domestic dust by microwave-assisted solvent extraction and gas chromatography-tandem mass spectrometry[ J]. *J Chromatogr A*, 2006, 1137(1): 1- 7.
- [15] PIRARD C, PAUW E D, FOCANT J E. Suitability of tandem-in-time mass spectrometry for polybrominated diphenyl ether measurement in fish and shellfish samples: Comparison with high resolution mass spectrometry[ J]. *J Chromatogr A*, 2006, 1115(1/2): 125- 132.
- [16] SALGADO-PETNAL C, LLOMPART M, GARCÍA-JARES C, GARCÍA-CHAO M, CELA R. Simple approach for the determination of brominated flame retardants in environmental solid samples based on solvent extraction and solid-phase microextraction followed by gas chromatography-tandem mass spectrometry[ J]. *J Chromatogr A*, 2006, 1124(1/2): 139- 147.
- [17] YUSA V, PARDO O, PASTOR A, GUARDIA M D L. Optimization of a microwave-assisted extraction-large-volume injection and gas chromatography-ion trap mass spectrometry procedure for the determination of polybrominated diphenyl ethers, polybrominated biphenyls and polychlorinated naphthalenes in sediments[ J]. *AnalChim Acta*, 2006, 557(1/2): 304- 313.
- [18] LOSADA S, SANTOS F J, GALCERAN M T. Selective pressurized liquid extraction of polybrominated diphenyl ethers in fish[ J]. *Talanta*, 2009, 80(2): 839- 845.
- [19] RAMOS J J, GÓMARA B, FERNÁNDEZ M A, GONZÁLEZ M J. A simple and fast method for the simultaneous determination of polychlorinated biphenyls and polybrominated diphenyl ethers in small volumes of human serum[ J]. *J Chromatogr A*, 2007, 1152(1/2): 124- 129.
- [20] 林竹光, 张莉莉, 孙若男, 邹西梅, 蒋文静, 彭淑女. 动物肝脏中九种多溴联苯醚残留量的 GC-NCI/MS 分析[ J]. *分析试验室*, 2008, 27(7): 30- 34.
- [21] 林竹光, 马玉, 涂逢樟, 陈美瑜, 孙若男, 张莉莉, 李小波. 气相色谱-负离子化学源-质谱法分析茶叶中5种多溴联苯醚[ J]. *分析试验室*, 2007, 26(6): 88- 92.
- [22] 林竹光, 涂逢樟, 马玉, 陈美瑜, 张莉莉, 孙若男, 邹西梅, 李小波, 陈招斌. 气相色谱-负离子化学电离质谱法分析深海鱼油食品中的五种多溴联苯醚残留[ J]. *色谱*, 2007, 25(2): 262- 266.